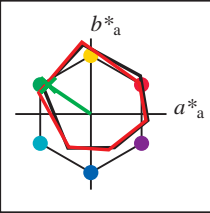


Ein- und Ausgabe: Offset-Reflektiv-System ORS18a für relativen CIELAB-Bunton  $h_{ab,a,rel} = h_{ab}/360 = 145/360 = 0.4$

$H^*_e = Y75G_e$

Daten für jede Geräte- (d) oder Elementarfarbe (e):

$HIC^*_e$   
 Bunttext für die Farben dieser Seite:  
 $H^*_e = Y75G_e$   
 Dreiecks-Helligkeit  $T^*$



**ORS20a; adaptierte CIELAB-Daten**

Name	$L^*=L^*_a$	$a^*_a$	$b^*_a$	$C^*_{ab,a}$	$h^*_{ab,a}$
R <sub>e</sub> ,Ma	47.6	64.9	30.9	71.9	25
Y <sub>e</sub> ,Ma	82.9	-3.5	87.8	87.9	92
G <sub>e</sub> ,Ma	52.4	-67.1	21.5	70.5	162
C <sub>e</sub> ,Ma	56.6	-39.7	-29.9	49.8	216
B <sub>e</sub> ,Ma	37.9	1.3	-45.4	45.4	271
M <sub>e</sub> ,Ma	34.8	49.2	-30.0	57.7	328
N <sub>e</sub> ,Ma	17.7	0.0	0.0	0.0	0
W <sub>e</sub> ,Ma	95.4	0.0	0.0	0.0	0
R <sub>e</sub> ,CIE	39.9	58.7	27.9	65.0	25
Y <sub>e</sub> ,CIE	81.2	-2.8	71.5	71.6	92
G <sub>e</sub> ,CIE	52.2	-42.4	13.6	44.5	162
B <sub>e</sub> ,CIE	30.5	1.4	-46.4	46.4	271

Daten für Maximalfarbe (Ma):

$LabCh^*_{e,Ma}: 56 \ -56 \ 38 \ 68 \ 145$   
 $HIC^*_{e,Ma}: Y75G_{100_{100}e}$   
 $rgbic^*_{e,Ma}: 0.11 \ 1.0 \ 0.0 \ 1.0 \ 1.0$

**ORS20a; adaptierte CIELAB-Daten**

$H^*_e$	$L^*=L^*_a$	$a^*_a$	$b^*_a$	$C^*_{ab,a}$	$h^*_{ab,a}$
R00Y_100_100 <sub>e</sub>	47.6	64.9	30.9	71.9	25
R25Y_100_100 <sub>e</sub>	51.5	54.2	47.2	71.9	41
R50Y_100_100 <sub>e</sub>	60.3	35.6	59.0	68.9	58
R75Y_100_100 <sub>e</sub>	70.4	17.0	72.2	74.1	76
Y00G_100_100 <sub>e</sub>	82.9	-3.5	87.8	87.9	92
Y25G_100_100 <sub>e</sub>	76.9	-25.5	75.9	80.1	108
Y50G_100_100 <sub>e</sub>	65.8	-41.4	54.4	68.3	127
Y75G_100_100 <sub>e</sub>	56.9	-56.3	38.1	68.0	145
G00B_100_100 <sub>e</sub>	52.4	-67.1	21.5	70.5	162
G25B_100_100 <sub>e</sub>	54.6	-53.2	-9.0	53.9	189
G50B_100_100 <sub>e</sub>	56.6	-39.7	-29.9	49.8	216
G75B_100_100 <sub>e</sub>	52.7	-21.1	-44.1	48.9	244
B00R_100_100 <sub>e</sub>	37.9	1.3	-45.4	45.4	271
B25R_100_100 <sub>e</sub>	26.7	26.6	-45.8	52.9	300
B50R_100_100 <sub>e</sub>	34.8	49.2	-30.0	57.7	328
B75R_100_100 <sub>e</sub>	47.3	71.5	-9.9	72.1	352

Dreiecks-Helligkeit  $T^*$   
 %Umfang  $u^*_{rel} = 92$   
 %Regularität  $g^*_H,rel = 57$   
 $g^*_C,rel = 58$

